

セントリリサークルセントラル(株) 正員 渡辺 隆之

## 1. 緒言

き裂先端近傍に大規模な塑性変形を生ずるよう方破壊に適用される非線形破壊力学パラメータとしては、Rice<sup>(1)</sup>の提案した丁積分がある。この丁積分は、変形塑性理論にしたがう弾塑性体をき裂先端近傍における応力・特異性の強さを表し、かつ積分経路に依存しないように力学的破壊力学パラメータであると考へられる。しかし、これは物体力や熱ひずみなどに存在する場合、あるいはひずみ増分理論にしたがう弾塑性体に対する応用にありては、経路独立性が失われ適用にあつて限界が生じる。さうしたく丁積分の適用限界を挙げたパラメータとして、丁積分が提案された<sup>(2)</sup>。丁積分は、物体力や熱ひずみが結果を考慮した増分理論にしたがう弾塑性体に対する適用でき、非線形破壊力学パラメータとなる<sup>(3)</sup>。

本論文では、仮想き裂進展法を用いて丁積分および丁積分を評価する方法について示す。

## 2. 仮想き裂進展法による評価式

## 2.1 丁積分の評価法

図1に示すように、固定座標系 $x_1, x_2$ とき裂先端とそれを移動する移動座標系 $X_1, X_2$ を考へる。さうして、き裂長さ $\Delta a$ とし、き裂が $\Delta a$ だけ進展した場合を考へる。この $\Delta a$ は物体力とき裂面の圧力を無視する。Rice<sup>(1)</sup>は、 $\Delta a \rightarrow 0$ の極限として丁積分を定義する。この定義より、丁積分は次式のように表される。

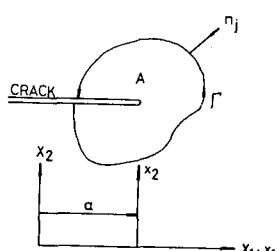


図1 座標系と積分経路

$$J = \int_{\Gamma} T_i \frac{\partial u_i}{\partial a} dP - \int_A \frac{\partial w}{\partial a} dA \quad (1)$$

ここで、 $T_i$ は表面力、 $u_i$ は変位、 $w$ はひずみエネルギー密度、 $P$ は積分経路、 $A$ は $\Gamma$ に囲まれた面積である。 $X_1, X_2$ 系と $x_1, x_2$ 系との関係を $X_1 = x_1 - a, X_2 = x_2$ と表すと、式(1)の微分関係は次式のように表される。

$$\begin{aligned} \frac{\partial u_i(x_1, x_2, a)}{\partial a} &= \frac{\partial u_i(x_1, x_2, a)}{\partial a} + \frac{\partial u_i}{\partial x_1} \frac{\partial x_1}{\partial a} \\ &= \frac{\partial u_i(x_1, x_2, a)}{\partial a} \end{aligned} \quad (2)$$

これより、Rice<sup>(1)</sup>によると丁積分は、式(2)の中間項を式(1)に代入すると次式で得られるとは、よく知られてる。しかし、この式は式(2)の右辺項を式(1)に代入し、固定座標系で表す。

$$J = \int_{\Gamma} T_i \frac{\partial u_i}{\partial a} dP - \int_A \frac{\partial w}{\partial a} dA \quad (3)$$

ここで、ひずみエネルギー密度 $w$ は、次式で表される。

$$w = w(\epsilon_{ij}) = \int_0^{\epsilon_{ij}} \sigma_{ij} d\epsilon_{ij} \quad (4)$$

ただし、 $\sigma_{ij}$ と $\epsilon_{ij}$ は応力とひずみテンソルである。次に、一定荷重条件をもと式(3)を考へる。経路 $\Gamma$ 上での表面力 $T_i$ は一定とし、積分経路 $\Gamma$ と $A$ は変化しないと仮定する。 $\partial u_i / \partial a$ と $\partial w / \partial a$ は、積分領域内に連続であると仮定し、微小な仮想き裂進展量 $\Delta a$ を式(3)の面積に乘すと、次式が得られる。

$$J \Delta a = \frac{\partial}{\partial a} \int_{\Gamma} T_i u_i dP \Delta a - \frac{\partial}{\partial a} \int_A w dA \Delta a \quad (5)$$

上式において、き裂進展力 $\Delta J$ と仮想仕事 $(J \Delta a)$ は、外部仕事の仮想増分と内部仕事の仮想増分の差と等しくなることを解説できる。

これより図2を参照するとともに式(5)を用いて、仮想き裂進展法の表示式を求める。図2(a)は、き裂先端が固定され経路 $\Gamma$ と半径 $r$ を有する経路 $\Gamma_r$ を示している。

図2(b)は、経路 $\Gamma$ が不变とし、き裂先端が仮想的に $\Delta a$ だけ進展させたとともに、 $\Gamma$ に囲まれた領域も同時に平行

移動寸世半状態で示した。図2(a)より式(5)は、慣性力項は、簡単のため無視した。両座標系間の  
 $A = A_1 + A_2$  とすると、次のように表わせる。  
 周期は、次のように表す。

$$\int \delta a = \frac{\partial}{\partial a} \int_p T_i u_i d\rho \delta a - \frac{\partial}{\partial a} \int_{A_1 + A_2} w dA \delta a \quad (b)$$

次に、経路 $\pi$ 上 $\cup$ 変位 $\delta\pi$ を固定し、図2(b)のようになしに囲まれた領域 $\Omega$ 中の任意の点 $x$ と $\delta x$ で、き裂進展方向 $\mathbf{d}$ 平行移動 $\delta\mathbf{d}$ すら $\delta\pi$ 式(6)は、

$$J \delta a = - \int_{A_p^0} \frac{\partial w}{\partial a} \delta a \left| \frac{dA_i}{dA_p^0} \right| dA_i^0 - \int_{A_p^0} w \frac{\partial |dA_i/dA_p^0|}{\partial a} \delta adA_i^0 \quad (7)$$

とが子。 $\cdots = z^n$  は、仮定より  $\Gamma$  上  $z^n dA_2 / \partial a = 0$ ,  $d/dp /$   
 $dP^0 / \partial a = 0$  とあつた。また丁積分の仮定より傾斜  
 $A_2 z^n (dM / \partial a) \delta a = 0$ ,  $(d/dA_2 / dA_2^0 / \partial a) \delta a = 0$  とあつて  
 なる。上式にあつて  $|dA_1 / dA_1^0|$  は、ヤコビアン行列式  
 $z^n$  である。式(7)は、仮想モード法を用いた丁積分  
 の詳細法である。しかし、ボテンシャルエネルギーを定義  
 したところも詳細法が算出する場合と表示してある。また  
 丁積分の詳細法の場合、経路積分法と仮想モード法  
 による詳細法は、同じ式から出発してそれより詳細  
 法が得られることが示してある。

## 2.2 余積分の詳述法

子積分は、塑性変形・拘体力学・温度場などを考慮した非線形破壊力学モデルメソード提案を行なった。  
図3に示したように、子裂先端にとて初期密度標系 $\alpha$ - $x_1, x_2$ の原点から $\theta'$ を仮想的に子裂が微小長さ進展する場合を考へ、直後子裂先端の原点上に子裂運動度標系 $\beta'-x_1, x_2$ をとる。エネルギー保存則に基づく手次式を与えた。

$$\int_{P+P_3} T_i \frac{du^i}{da} dp + \int_A F_i \frac{du^i}{da} dA = \int_A \bar{U}_{ij} \frac{dE_{ij}}{da} dA + \hat{J} \quad (8)$$

$\approx 2''$ , 任何物体为 $2''$ 高子。 破壞加速度有 $3$ 微小領域。

## 圖二 簡易主製造法

関係は、次のようなだよ。

$$x_1 = x_1 \cos \phi + x_2 \sin \phi - a \quad (9a)$$

$$x_2 = -x_1 \sin \theta + x_2 \cos \theta \quad (96)$$

：在与外力作用时应力弹性变形部分，塑性变形部分，超过应力部分分解为弹性与塑性两部分，次或已失去也了。

$$\varepsilon_{ij}^{\sigma} = \varepsilon_{ij}^{se} + \varepsilon_{ij}^{pe} + \varepsilon_{ij}^{ce} = \varepsilon_{ij}^{se} + \varepsilon_{ij}^{me} \quad (10)$$

次に、計算の工具として密度剛体、弾性結合と非弾性結合の分解などをもつておこなう。次式が導き出される。

$$W = W^e + W^{ne} = \int_{\Omega} E_{ij}^e T_{ij} dE_{ij}^e + \int_{\Omega} E_{ij}^{ne} T_{ij} dE_{ij}^{ne} \quad (11)$$

$\varepsilon = 2^\circ$ ,  $E_g^0 = 0$  のとき  $\eta^{max}$  は、塑性レギオエカルギ密度  $\eta^0$  となる。 $\eta^0$  より大きくなると  $\eta$  による分子運動は、 $\eta_{\text{reg}}^0$  より一室という仮定によって (11) より次式のような値をもす。

$$\frac{\partial w}{\partial a} = T_{ij} \frac{\partial E_{ij}^e}{\partial a} + T_{ij} \frac{\partial E_{ij}^{ne}}{\partial a} \quad (12)$$

式(9)～(12)を考慮し2.1節と同様式式(8)を変形すると、仮想き裂進展法による積分の詳細式が次のように得られる(図4参照)。

$$\begin{aligned} \hat{\int} \delta a &= \int_{P_{S1}^0} T_o \frac{\partial U_o}{\partial a} \delta a \left| \frac{\partial P_{S1}^0}{\partial P_{S1}^0} \right| dP_{S1}^0 + \int_{P_{S1}^0} T_o U_o \frac{\partial |dA_1/dA_1^0|}{\partial a} \delta a dP_{S1}^0 \\ &+ \int_{A_1^0} F_o \frac{\partial U_o}{\partial a} \delta a \left| \frac{\partial A}{\partial A^0} \right| dA^0 + \int_{A_1^0} T_o U_o \frac{\partial |dA_1/dA_1^0|}{\partial a} \delta a dA_1^0 - \\ &\int_{A_1^0} T_{ij} \left( \frac{\partial \epsilon_{ij}^{se}}{\partial a} + \frac{\partial \epsilon_{ij}^{ne}}{\partial a} \right) \delta a \left| \frac{\partial A}{\partial A^0} \right| dA^0 - \int_{A_1^0} (w^e + w^{ne}) \frac{\partial |dA_1/dA_1^0|}{\partial a} \delta a dA_1^0 \end{aligned} \quad (13)$$

〔参考文献〕

- (1) Rice, J.R., *J. Appl. Mech.*, Vol. 35 (1968) pp. 379.  
 (2) 岸本 信加 2 種, 機論, Vol. 46-410(A) (8855) pp. 1049.

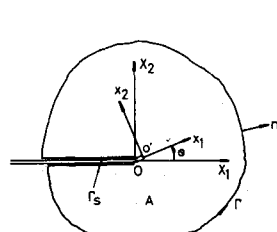
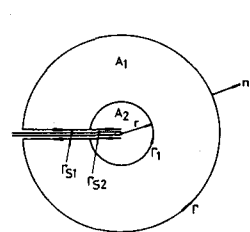


圖3 守望進展時の工本ルート  
平衡のための子領域



#### 圖 4 手稿會の假想主張其尾法